

硕士学位论文

(学术学位论文)

面向代码质量评估的变更影响分析方法研究

**RESEARCH ON CHANGE IMPACT
ANALYSIS METHODS FOR CODE
QUALITY ASSESSMENT**

李美娜

哈尔滨工业大学

2024 年 12 月

国内图书分类号: TM301.2
国际图书分类号: 62-5

学校代码: 10213
密级: 公开

硕士学位论文

面向代码质量评估的变更影响分析方法研究

硕士研究生: 李美娜

导师: 苏小红教授

申请学位: 工学硕士

学科或类别: 软件工程

所在单位: 计算学部

答辩日期: 2024 年 12 月

授予学位单位: 哈尔滨工业大学

Classified Index: TM301.2

U.D.C: 62-5

Dissertation for the Master's Degree

RESEARCH ON CHANGE IMPACT ANALYSIS METHODS FOR CODE QUALITY ASSESSMENT

Candidate:	Li Meina
Supervisor:	Prof. Su Xiaohong
Academic Degree Applied for:	Master of Engineering
Specialty:	Software Engineering
Affiliation:	School of Computer Science
Date of Defence:	December, 2017
Degree-Confering-Institution:	Harbin Institute of Technology

摘 要

摘要的字数（以汉字计），硕士学位论文一般为 500 ~ 1000 字，

关键词：代码质量分析；变更影响；代码审查

Abstract

An abstract

Keywords: code quality analysis, change impact, code review

目 录

摘 要	I
Abstract	II
第 1 章 绪论	1
1.1 课题研究的背景和意义	1
1.2 国内外研究现状及分析	2
1.2.1 代码质量评估的国内外研究现状	2
1.2.2 代码变更影响分析方法	5
1.3 本文的主要研究内容以及各章节安排	5
1.3.1 主要研究内容	5
1.3.2 章节安排	5
第 2 章 代码中间表示与质量评估度量提取	6
2.1 引言	6
2.2 基于 clang 的抽象语法树生成方法	6
2.3 方法调用链提取与分析	7
2.4 全局变量定义-使用链提取与分析	10
2.5 基于方法特征的代码度量提取	11
2.5.1 基于内聚度缺乏度的内聚性分析	11
2.5.2 基于连通性的内聚性分析	13
2.5.3 方法间耦合性分析	14
2.5.4 方法扇入扇出度量分析	15
2.6 实验结果与分析	16
2.6.1 实验数据描述与分析	16
2.6.2 实验结果与分析	17
2.7 本章小结	19
第 3 章 变更影响分析方法	20
3.1 引言	20
3.2 基于依赖关系闭包的变更影响分析	20
3.3 基于代码克隆的变更影响分析	21

3.3.1 代码分段及代码指纹提取	21
3.3.2 基于 ClaSP 算法的代码克隆检测方法	21
3.4 基于数据挖掘的变更影响分析	21
3.4.1 代码变更历史提取	21
3.4.2 基于频繁模式挖掘的变更影响关系提取	22
3.5 基于深度学习的变更影响分析	22
3.5.1 数据集的采集与预处理	23
3.5.2 基于 codebert 的变更影响关系预测	23
3.6 实验结果与分析	24
3.6.1 实验数据集描述与分析	24
3.6.2 实验设置	24
3.6.3 实验结果与分析	24
3.7 本章小结	24
第 4 章 代码审查图生成	25
4.1 引言	25
4.2 基于方法功能标签的方法聚类	25
4.2.1 基于大语言模型的方法功能标签生成	25
4.2.2 基于功能标签的方法聚类	25
4.3 代码审查图	25
4.3.1 代码审查图构建	25
4.3.2 代码审查图可视化	25
4.4 实验结果与分析	26
4.4.1 实验数据集描述与分析	26
4.4.2 实验设置	26
4.4.3 实验结果与分析	26
4.5 本章小结	26
结 论	27
参考文献	28
哈尔滨工业大学学位论文原创性声明和使用权限	30
致 谢	31

第 1 章 绪论

1.1 课题研究的背景和意义

随着计算机和软件技术的不断进步,软件系统的规模和复杂性也随之增长,尤其是那些被称为遗留系统(legacy system)或遗产软件的项目。这些遗留系统由于其庞大的规模和维护升级的难度,成为了代码质量分析的重要领域。根据 Chiu 等人的定义 [1],遗留系统是指那些维护和升级难度较高的大规模软件系统。而 Carvalho 等人 [2] 则将遗留系统描述为依赖过时技术的系统,这些系统经过多年的广泛维护,导致其架构衰变和退化。遗留系统的复杂性不仅体现在它们由紧密相连且相互依赖的组件构成,难以扩展和创新 [3],还在于它们对维护资源的巨大需求,这阻碍了数字化转型的步伐。尽管如此,这些系统代表着长期的大规模投资,包含企业的重要数据和技术流程,完全抛弃可能会导致重要资产流失,不可轻易放弃。因此,为了保持竞争力和保护现有投资,许多公司都选择对这些遗留系统进行继续维护或者重构。

除了遗留系统之外,对于一般的软件项目,持续维护也是最重要的代码活动之一。调查显示,软件系统的维护成本在历年的软件维护预算中占 60% 到 80% 的比重 [4]。标准的代码维护工作的流程图如图 1-1 所示,主要分为以下三个步骤:

(1) 开发人员进行代码开发。修改项目代码后,针对修改部分进行回归测试,验证功能是否符合需求,同时避免缺陷的引入。

(2) 测试通过后,由审查人员进行代码审查。代码审查的主要目的是确保代码质量,通过识别潜在的错误和优化点,提升代码的可维护性与可靠性,同时保证开发风格的统一。

(3) 审查通过后,则可与原始项目进行合并。

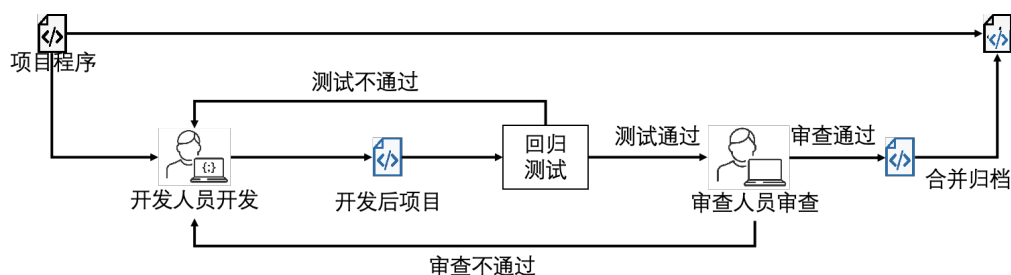


图 1-1 示例代码

软件项目由于历史原因，往往存在大量低质量代码和技术债务。在对软件项目进行维护或重构的过程中，代码质量分析是具有指导性意义的关键一环。代码质量分析可以帮助开发者识别代码质量问题和问题所在的位置，提供有针对性的优化以及重构方案，从而降低成本和风险。通过有效的代码质量分析，企业可以逐步提升软件系统的稳定性和可维护性，为实现数字化转型打下坚实基础。这不仅能够保护企业的长期投资，还能提升整体竞争力，确保在快速变化的市场中保持领先地位。

代码变更影响分析是代码质量分析的重要方法之一。通过代码变更影响分析，能够确定当某处代码进行变更时，系统中的其他哪些部分会受到影响，这可以让开发人员提前了解与变更部分有依赖关系的其他模块，避免变更时引入问题。

对于大型软件系统，代码变更影响分析更显得尤为关键。大型软件系统往往融合了不同开发者的个性化风格，随着时间的推移，系统的模块化设计原则逐渐被繁复和庞大的代码结构所淹没。这种情况下，精准地识别变更后有影响的代码模块，对于系统的有效重构和维护至关重要。然而，传统依赖经验丰富的专家进行手工提取的方法，在面对日益复杂化的系统结构时，显得力不从心[5]。因此，从代码变更影响分析的角度出发，不仅能深入理解代码变更对系统整体和各个子模块的潜在影响，还能够提高维护项目的效率[6]。这种方法为软件系统的维护和升级提供了一种更为科学和系统的解决策略，有助于实现软件质量的持续提升和维护成本的有效控制。

本文将从代码变更影响分析入手进行方法研究，面向代码质量评估，同时结合静态分析方法对代码项目进行代码度量提取和缺陷检测，帮助开发者和审查人员更直观地理解整个项目，为维护项目代码提供更有效的保障。

1.2 国内外研究现状及分析

1.2.1 代码质量评估的国内外研究现状

软件质量与软件的稳定性、可靠性、健壮性、可维护性等关键特性密切相关，是衡量软件性能和可靠性等指标的重要标准。作为软件质量的重要组成部分，代码质量在整体软件质量中占据着至关重要的地位，直接影响着软件系统的长期可用性与可维护性。

代码质量分析方法按照研究主题主要可以分为以下几种，

(1) 代码缺陷

代码缺陷是研究最广泛的代码质量主题。相近地，代码漏洞、代码故障等概念也属于代码缺陷研究的范畴。软件代码中存在大量隐藏的缺陷，这些缺陷可能源于开发人员的疏忽、软件固有的逻辑漏洞或开发语言安全性的脆弱性。如果不进行及时的处理，这些问题可能引发安全漏洞，对系统和应用的安全造成影响。在此主题中，缺陷检测和预测是最主要的研究目的。

目前的研究方法主要分为三种，首先是传统的基于静态分析的方法，如基于代码相似度的检测器^[1-2]或基于模式的检测器^[3-5]。这种检测方法基于一系列预定义的规则、模式或静态模型进行检查，但是通常会产生较高的误报，检测的效果取决于预先定义的规则或模式的质量。其次是基于机器学习的方法。该方法通过文本分析等方法提取代码特征，结合分类器，如决策树、支持向量机等机器学习技术^[6-8]，作为分类器，在大型数据集上进行预测。随着深度学习技术的发展，逐渐出现了基于深度学习技术的缺陷或漏洞预测方法，这种检测方法主要分为两步，首先通过代码表示学习方法，将代码表示为词嵌入、图表示或序列表示，利用神经网络捕捉代码语义和结构特征。通过端到端的深度学习模型直接从原始代码或中间表示中学习缺陷模式，训练模型后，直接对代码进行缺陷预测。

(2) 代码复杂度

代码复杂度也是代码质量研究领域的重要主题之一。在^[9]的研究中统计，代码复杂度在代码质量的主题中研究数量排在第二位。基于传统度量指标的研究通常是对经典复杂度度量的扩展，如在传统的度量标准，如圈复杂度、Halstead 复杂度、CK 度量的基础上，结合新型指标进行复杂度评估。除此之外，研究表明软件代码可以作为复杂网络来进行研究^[10-11]，这类研究中通常将代码转化为图数据，如抽象语法树、调用图、控制流图、数据流图等，通过分析图结构的复杂性，捕捉代码逻辑的复杂程度。此外，基于认知复杂度也是代码复杂度的研究方法之一。认知复杂度衡量执行任务所需的人类努力^[12-13]，是 Shao 和 Wang^[14]引入的认知指标的重要组成部分。这些度量标准与任何特定的编程范例都没有关联，但是可以从人因工程视角评估代码的认知复杂性，研究代码结构（如嵌套、条件分支）对开发者理解负担的影响，从而衡量代码的复杂性。

(3) 代码内聚度和耦合性

内聚度和耦合性是软件设计中的核心指标，其平衡直接影响系统的质量与可维护性。高内聚度表示模块内部功能集中且相关性强，有助于提高代码的可读性和复用性，降低修改时的风险；低耦合性则强调模块间独立性，减少了相互依赖导致的连锁反应，使得系统更易于扩展和测试。二者共同作用，构成了

高质量、易维护的软件架构的基础。

近年来对于内聚度的研究大多是从不同的角度提出新的度量标准,有少量研究是对传统度量指标的改进。^[15]提出一种基于程序依赖性分析的类内聚度量方法,它从属性与属性之间、属性与方法之间以及方法与方法之间三个方面对类进行全面分析,这三个方面既可以单独度量类的内聚度,也可以综合使用,证明了提出的方法满足 Briand 提出的关于优良的内聚度量准则的四个基本性质。QU^[16]提出了两个新的类内聚度量 MCC (Method Community Cohesion) 和 MCEC (Method Community Entropy Cohesion),这两种指标基于类中方法在不同社区间的分布,因此能够反映类的内聚程度。研究表明,这些指标可以提供现有类内聚性指标所未反映的额外且有用的信息。

同内聚度类似,对于耦合性的研究大部分也是对传统度量指标的改进。马健等人^[17],参考 UML 中类图之间的关系,对 CBO (Coupling Between Object Classes) 度量指标进行了改进,并使用一组形式化评估软件质量性质的定理进行评估;以 JUnit 和 JEdit 为研究对象,对提出度量框架的关联、依赖、泛化关系进行度量研究。结果分析表明,改进后的指标可以较准确地反映面向对象设计中的耦合关系。

除此之外,还包括代码变更、代码可重用性、代码可读性、代码性能和代码安全性等研究主题。

根据不同的研究主题,演化出了很多代码度量套件,这些度量被广泛应用于与源代码相关的各种应用程序和实验中(例如,故障预测、测试、重构),以评估软件的整体质量。为了满足不同的度量需求,多年来,人们提出、研究和验证了许多来自不同编程范型的源代码度量,并不断提出新的度量和研究。研究发现^[18],近年来使用最广泛的是 Chidamber and Kemerer 套件(CK 套件)和 Li and Henry (LH) 套件。

表 1-1 CK 套件核心指标

度量	全称	描述
WMC	Weighted Methods per Class	类中的方法的复杂性,复杂性可以通过方法数量或具体的计算方式(如方法的圈复杂度)来衡量
DIT	Depth of Inheritance Tree	类在继承树中的深度
NOC	Number of Children	一个类直接子类的数量
CBO	Coupling Between Object Classes	类与其他类之间的耦合关系数量
RFC	Response for a Class	类能够响应的所有方法的数量,包括其直接定义的方法和调用的其他类的方法
LCOM	Lack of Cohesion in Methods	类中方法间缺乏内聚性的程度

CK 套件主要是针对面向对象语言设计的度量套件，具体含义如表 1-1。CK 套件中共有六个核心指标，侧重点各有不同，其中 WMC 用于衡量类的复杂性。如果值较高，说明类可能过于复杂，难以维护。DIT 用于衡量类继承层次的复杂性。较大的 DIT 值表明更深的继承层次，增加了设计复杂性。NOC 计算了一个类的直接子类的数量，衡量了类的影响范围，NOC 值较高可能表明父类的职责过于泛化。CBO 衡量了类间的依赖性。如果值较高，表示类之间耦合较强，模块化和重用性可能会较低。RFC 衡量类的复杂性和可能的行为范围。RFC 值较高可能表明类的行为过于复杂。LCOM 衡量类内部方法和字段的相关性。如果值较高，说明类可能职责分散，应考虑拆分或重构优化。CK 套件提供了一种系统化的方法来评估软件质量，能够帮助开发人员识别潜在问题，改进代码可维护性和可重用性。虽然 CK 套件主要是应用于面向对象语言的，但是也可应用于面向过程语言，只是需要根据具体场景调整权重和解释。

L&H 套件是由 Li 和 Henry 等人提出^[19]，主要用于评估程序的复杂度、维护性以及开发成本等度量套件。LH 套件中有一部分指标和 CK 套件是一样的，除此之外，还有另外五个核心指标。

表 1-2 L&H 套件核心指标

度量	全称	描述
DAC	Weighted Methods per Class	类之间通过抽象数据类型 (Abstract Data Type) 进行交互的程度
MPC	Message Passing Coupling	类之间通过方法调用进行通信的频率
NOM	Number of Methods	类中所有方法 (包括继承和自定义方法) 的数量
SIZE2	Second Order Size Metric	通常用类的属性数和方法数的平方和表示
SLOC	Source Lines of Code	源代码行数

其中，较高的 DAC 和 MPC 值表示类对其他类的依赖程度较高，可能导致耦合度增加。较高的 NOM 和 SIZE2 可能表明类的职责过多，过于复杂，难以理解和维护。较高的 SLOC 值表示代码较为冗长，可能需要优化。

1.2.2 代码变更影响分析方法

1.3 本文的主要研究内容以及各章节安排

1.3.1 主要研究内容

1.3.2 章节安排

第2章 代码中间表示与质量评估度量提取

2.1 引言

2.2 基于 clang 的抽象语法树生成方法

抽象语法树 (Abstracted Syntax Tree, AST) 是一种用来表现编程语言构造的树状结构, 它把代码的语法结构以树形的方式进行了抽象化描述。在这个树形结构中, 每一个节点都对应着代码中的某个元素, 比如变量声明、语句或者是表达式等。从这棵树的根节点出发, 代码逐步被拆解成更小的部分, 直到最终到达叶节点, 这些叶节点代表了代码中最基本的元素, 如操作符或变量等。在这棵树中, 节点之间的连接仅表明了它们之间的层级关系, 即父节点与子节点的关系。通过这样的结构, AST 能够清晰地展示出代码的层次和结构, 为编译器或其他工具分析和处理代码提供便利。

Clang 是由苹果公司发起的支持 C、C++、Objective-C 和 Objective-C++ 语言的编译器前端, 负责对代码进行词法分析、语法分析和语义分析, 对程序代码的分析和理解至关重要 [7]。词法分析通过识别 Token 将程序代码分解成基本单元。语法分析在此基础上识别程序的语法结构, 构造抽象语法树。语义分析消除语义模糊, 生成属性信息, 让计算机生成目标代码。而 libclang 是 Clang 编译器的一个重要组成部分, 它提供了一套用于解析源代码的程序接口。这些程序接口允许开发者在项目中使用时使用 Clang 的强大语言解析和代码分析功能 [8]。本文使用了 libclang 生成 AST, 提取代码中的调用和依赖关系, 为后续进一步分析提供基础。

这里通过一个简单的例子来说明 libclang 的使用方式。如图 2-1 所示, 这里定义了一个简单的 C 语言文件, 文件中声明并定义了两个函数和一个全局变量, 主函数用于计算两个数的和。这段代码由 Clang 解析生成抽象语法树后, 得到的树结构如下图 2-2 所示。

在 libclang 解析得到的抽象语法树中, 游标 (cursor) 是一个核心概念, 它作为一个指针或引用存在, 每个 cursor 都与 AST 中的一个特定节点相对应, 表示了源代码中的一个结构元素。通过操作 cursor, 可以遍历整个 AST, 访问和分析代码中的各种元素, 如获取变量的类型、函数的参数列表、类的成员等。libclang 提供了一系列 API 函数来操作 cursor, 例如: 遍历 AST 中的 cursor、获取 cursor

```
1  #include <stdio.h>
2
3  int globalVar = 10;
4
5  int addNumbers(int a, int b) {
6      return a + b;
7  }
8
9  void main() {
10     int num1 = 5;
11     int num2 = 7;
12     int sum = addNumbers(num1, num2);
13     printf("Sum of %d and %d is: %d\n", num1, num2, sum);
14 }
```

图 2-1 示例代码

的类型（如是否为方法定义、变量定义、变量引用等）、获取 **cursor** 所代表的源代码元素的名称、类型、位置等信息、获取 **cursor** 的父节点或子节点等。本文通过操作游标，遍历 AST，获取整个 AST 的结构。

Clang 定义了一套节点类型标识。AST 的顶层节点类型是 **Translation_Unit** 标签，表示一个翻译单元，对 AST 树的遍历，实际上就是遍历整个 **Translation_Unit**。**Function_Decl** 指的是函数定义，在 clang 中是不区分函数声明和函数定义的，统一用 **Function_Decl** 来标识，两个区分主要看是否有函数体，在 **libclang** 中提供了程序接口供开发者调用判断。**Parm_Decl** 是参数节点，上面的例子中，函数 **addNumbers** 有两个参数 **a** 和 **b**。**CompoundStmt** 代表大括号，函数实现、**struct**、**enum**、**for** 的 **body** 等一般用此标签包起来。**DeclStmt** 是定义语句，里边可能有 **VarDecl** 等类型的定义，**VarDecl** 是对变量的定义。**CallExpr** 标签表示函数调用 **Expr**，子节点有调用的参数列表。**ReturnStmt** 表示返回语句。

2.3 方法调用链提取与分析

本文以整个代码项目为分析对象，代码中的方法为分析单元，方法之间的调用关系则是本文的分析基础。在使用 **libclang** 提取代码的抽象语法树后，遍历整棵树来提取方法之间的调用关系。这部分我们重点关注抽象语法树上的方法节点，以及方法节点内部的调用节点，对应着代码中，方法的定义和方法内部对其他方法的调用。

对抽象语法树的遍历主要分为两次，第一次遍历的目的是获取所有的方法定义。首先提取所有的 **FUNCTION_DECL** 节点，它表示方法的定义，在该节点中可提取方法签名。在 **FUNCTION_DECL** 节点下，提取子节点 **PARM_DECL**，该节点表示方法的参数列表，在该节点中可提取参数名称和参数类型等参数相关信息。然后提取 **FUNCTION_DECL** 节点的子节点 **VarDecl**，该节点表示在该方

```

CursorKind.TRANSLATION_UNIT resources/template.c
| CursorKind.VAR_DECL globalVar
| | CursorKind.INTEGER_LITERAL
| CursorKind.FUNCTION_DECL addNumbers
| | CursorKind.PARM_DECL a
| | CursorKind.PARM_DECL b
| | CursorKind.COMPOUND_STMT
| | | CursorKind.RETURN_STMT
| | | | CursorKind.BINARY_OPERATOR
| | | | | CursorKind.UNEXPOSED_EXPR a
| | | | | CursorKind.DECL_REF_EXPR a
| | | | | CursorKind.UNEXPOSED_EXPR b
| | | | | CursorKind.DECL_REF_EXPR b
| CursorKind.FUNCTION_DECL main
| | CursorKind.COMPOUND_STMT
| | | CursorKind.DECL_STMT
| | | | CursorKind.VAR_DECL num1
| | | | | CursorKind.INTEGER_LITERAL
| | | | CursorKind.DECL_STMT
| | | | | CursorKind.VAR_DECL num2
| | | | | CursorKind.INTEGER_LITERAL
| | | | CursorKind.DECL_STMT
| | | | | CursorKind.VAR_DECL sum
| | | | | CursorKind.CALL_EXPR addNumbers
| | | | | | CursorKind.UNEXPOSED_EXPR addNumbers
| | | | | | | CursorKind.DECL_REF_EXPR addNumbers
| | | | | | | CursorKind.UNEXPOSED_EXPR num1
| | | | | | | | CursorKind.DECL_REF_EXPR num1
| | | | | | | | CursorKind.UNEXPOSED_EXPR num2
| | | | | | | | CursorKind.DECL_REF_EXPR num2
| | | | CursorKind.CALL_EXPR printf
| | | | | CursorKind.UNEXPOSED_EXPR printf
| | | | | | CursorKind.DECL_REF_EXPR printf
| | | | | CursorKind.UNEXPOSED_EXPR
| | | | | | CursorKind.UNEXPOSED_EXPR
| | | | | | | CursorKind.STRING_LITERAL "Sum of %d and %d is: %d\n"
| | | | | | | CursorKind.UNEXPOSED_EXPR num1
| | | | | | | | CursorKind.DECL_REF_EXPR num1
| | | | | | | | CursorKind.UNEXPOSED_EXPR num2
| | | | | | | | | CursorKind.DECL_REF_EXPR num2
| | | | | | | | | CursorKind.UNEXPOSED_EXPR sum
| | | | | | | | | | CursorKind.DECL_REF_EXPR sum
    
```

图 2-2 示例代码对应的抽象语法树结构

法内定义的局部变量。在对方法进行分析时，我们本身不关心方法的内部实现，但是由于在 C/c++ 语言中，存在局部变量可以和全局变量重名的情况，在这里提取方法内定义的局部变量，方便后续在提取全局变量时，对变量进行作用域的判断。除此之外，还需提取整个方法的 token 序列，所在文件以及作用域。

第二次遍历的目的是提取方法之间的调用关系。提取 FUNCTION_DECL 节点的子节点 CALL_EXPR，该节点标签表示的是调用语句，可提取调用的方法名。注意，由于主要分析该项目中由开发者定义的方法之间的依赖关系，所以对于一些标准库方法的调用选择忽略，不进行提取。具体的计算流程如算法 2-1 所示。

算法 2-1 Scan and Analyze Code Files

Input: 项目中的所有代码文件: *files***Output:** 方法摘要表: *functions*

```

1 Function scanAndAnalyze(files):
2   functions ← {} # 初始化方法摘要;
3   # 第一次扫描: 收集方法的定义;
4   foreach file ∈ files do
5     cursor ← libclang.parse(file).cursor # 获取 AST 的根 cursor;
6     traverse(cursor, 0, functions, file, True) # 遍历
      AST, 收集方法定义;
7   end
8   # 第二次扫描: 分析方法调用情况;
9   foreach file ∈ files do
10    cursor ← libclang.parse(file).cursor # 获取 AST 的根 cursor;
11    traverse(cursor, 0, functions, file, False) # 分析
      方法调用;
12  end
13  return functions;
14 Function traverse(node, depth, functions, filePath, isFirstScan):
15  if isFirstScan then
16    if node.kind == CursorKind.FUNCTION_DECL then
17      function ← collectionInfo(node) # C 收集方法信息;
18      functions.add(function) # 将方法添加到方法摘要;
19    end
20  end
21  else if node.kind == CursorKind.CALL_EXPR then
22    parse(node) # 分析被调用的函数;
23  end
24  foreach n ∈ node.get_children() do
25    traverse(n, depth + 1, functions, filePath,
      isFirstScan) # 递归遍历子节点;
26  end

```


分析结束后, 将会获得每个方法的方法调用链, 对应于一个方法摘要表, 包括项目代码中所有的方法和方法之间的调用关系, 除此之外还包括方法的参数表、方法主体和所在文件等其他信息。

2.4 全局变量定义-使用链提取与分析

在 C/c++ 代码中, 全局变量的定义、作用域、生命周期和方法是类似的, 所以在本文中, 将全局变量也作为独立的代码单元进行分析。全局变量定义-引用链的提取和方法的定义和调用提取类似, 对 AST 的遍历主要也分为两次。具体流程如图 2-3。

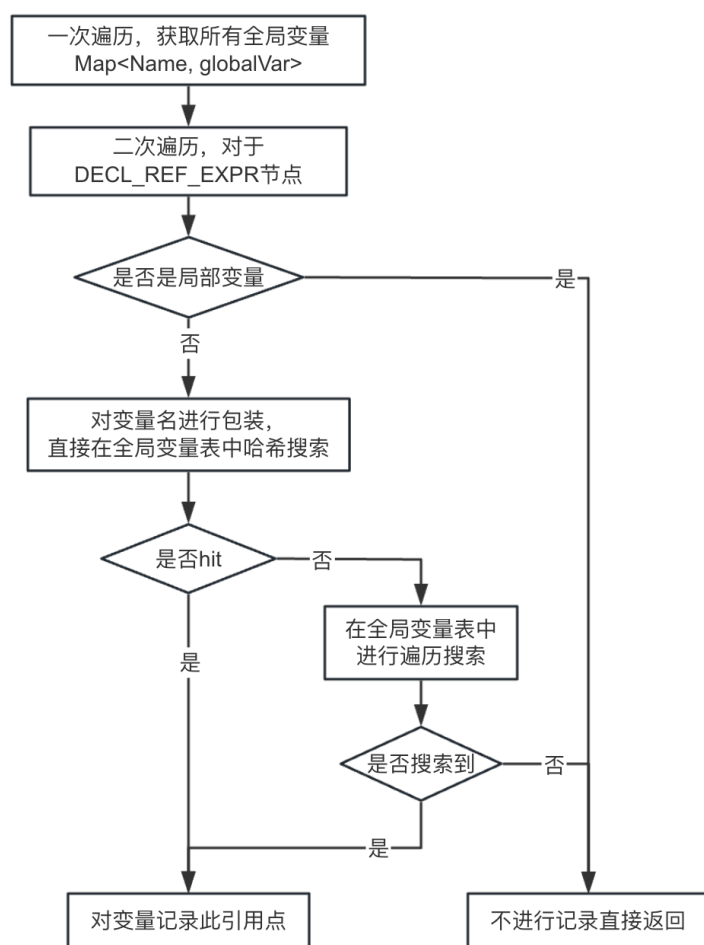


图 2-3 示例代码对应的抽象语法树结构

第一次遍历获取所有的全局定义。首先提取所有的 VAR_DECL 节点, 它表示变量定义, 然后提取节点中的变量名和变量类型。注意, 由于在 AST 中的节点标签中无法区分变量是否是全局的, 所以这里根据节点在 AST 中的深度来判断是否是全局变量, 并且在变量名前加上针对该项目文件的绝对路径, 来保证变

量名的唯一性。在确定其为全局变量后，还需进一步提取该变量的作用域。在 C/c++ 语言中，`static` 关键字可用于修饰变量和方法，意味着该变量或该方法只能在其所在文件内使用，而不是全局可用，因此需要对其作用域进行判断。一次遍历提取到的结果是一个全局变量表，这里使用哈希表 `Map<Name, globalVar>` 的数据结构进行存储，方便对全局变量进行查找。

第二次遍历的主要目的是提取全局变量的引用点。在方法节点子树中搜索 `DECL_REF_EXPR` 节点，该类型节点表示对变量的引用，这里首先判断被引用的变量是否是局部变量，根据方法摘要表中该方法的相关信息可以判断，如果是则直接返回，因为我们不关心方法内的局部变量引用。如果不是，则证明使用的是全局变量，首先在哈希表中进行查找该变量名，以节省检索时长，如果查找到了，说明是在该文件中定义的全局变量，同时能够保证被 `static` 修饰的全局变量的判断的准确性。如果没有查找到，则说明引用了别的文件中定义的全局函数，则在哈希表中进行遍历查找，记录该全局变量被引用的方法。具体提取流程如图 2-3 所示。

分析结束后，则获得了每个全局变量的定义-引用链，对应于一个全局变量信息表，包括项目代码中所有的全局变量和变量的引用点，除此之外还包括全局变量的类型、作用域和所在文件等其他信息。

2.5 基于方法特征的代码度量提取

代码内聚度和代码耦合性是衡量软件设计质量的两个核心指标，它们直接反映了代码质量。代码内聚度指的是模块（如函数、类或组件）内部元素之间的相关性。高内聚度意味着模块内的所有元素都紧密地围绕着一个单一的、明确的功能，代码更容易理解和维护 [9]。代码的耦合性则描述了模块之间的相互依赖。低耦合度意味着模块之间的依赖关系最小化，每个模块都可以独立地执行其功能，而不需要过多地依赖其他模块。低耦合度的代码更容易测试和维护 [10]。

基于方法摘要和全局变量信息表，我们计算如下代码度量，用于分析代码质量。

2.5.1 基于内聚度缺乏度的内聚性分析

LCOM (Lack of Cohesion in Methods) 系列指标是根据模块内聚度的缺乏程度来衡量模块的内聚度的指标。在本文中，面向对象语言以类为研究范围进行计算内聚度，非面向对象的语言以文件为研究范围进行计算，类中的成员属性

对应文件中的全局变量，类中的成员方法对应文件中定义的方法。LCOM 指标的核心思想是度量一个类中方法对实例变量（属性）的共享程度。不同版本的 LCOM 有着不同的计算方法和含义，体现了不同的侧重点。这里一共计算以下四个指标：

(1) LCOM1，含义是不引用相同字段的方法对数目 [11]。计算公式如式 (2-1)

$$LCOM1 = \begin{cases} P - Q, & \text{if } P \geq Q \\ 0, & \text{otherwise} \end{cases} \quad (2-1)$$

其中，P 是不共享实例变量的方法对的数量，Q 是共享实例变量的方法对的数量。如果 LCOM1 的结果为负数，则被置为 0。在计算时，对于每个文件首先构建方法耦合图（method coupling graph），将提取到的方法作为图中节点，对方法两两进行判断，如果两个节点都引用相同的字段，则它们之间用一条无向边连接，按式 (2-2) 计算，

$$LCOM1 = choose(n, 2) - e \quad (2-2)$$

其中 n 是文件中的方法总数，e 是图中的实际边数，即图中可能的最大边数减去实际的边数，得到的值即为 LCOM1

(2) LCOM2，含义是不引用相同字段方法与引用相同字段方法对数之差 [12]。LCOM2 相比于 LCOM1，考虑到了类中所有方法和变量的相互作用，其计算公式如式 2-3：

$$LCOM2 = \frac{1}{a} \sum (a - m_a) \quad (2-3)$$

其中，a 是类中属性的数量， m_a 是访问属性 a 的方法数量。在计算时，首先构建方法属性图（method-attribute graph），将提取到的方法和全局变量作为图中节点。如果方法引用了变量，则有一条有向边从方法节点指向属性变量，计算公式如式 2-4，

$$LCOM2 = 1 - \frac{e}{n \times a} \quad (2-4)$$

其中 n 为方法数，a 为变量数。假设 e 是图中的实际边数，得到的值即为 LCOM2。

(3) LCOM3，含义是以方法为顶点，两方法引用相同字段则有边构成的无向图的连通分支数 [12]。LCOM3 是对 LCOM2 的进一步改进，其计算公式如式 2-5：

$$LCOM3 = \left(\frac{\sum_{i=1}^n (m_i - a_i)}{m} \right) - a \quad (2-5)$$

其中, m 是方法的数量, a 是变量的数量, m_i 是第 i 个方法访问的属性数量, a_i 是被第 i 个方法访问的属性数量。LCOM3 试图通过分析方法和属性之间的关系来提供更细致的内聚度量。

实际计算时, 如式 2-6, 基于上述计算出的 LCOM2 指标可以快速地计算出 LCOM3

$$LCOM3 = \frac{n}{n-1} \times LCOM2 = \frac{n - \frac{e}{a}}{n-1} \quad (2-6)$$

(4) LCOM4, 含义是以方法为顶点, 两方法引用相同字段或有调用关系则有边构成无向图的连通分支数 [13]。

计算时, 构建方法耦合图, 节点是方法。如果两个节点都引用相同的字段, 则它们之间用一条无向边连接, 除此之外, 如果两个节点有调用关系, 则也用一条无向边将它们连接。根据深度搜索的方式, 计算图中的连通分支数, 得到的值即为 LCOM4。

2.5.2 基于连通性的内聚性分析

TCC (Tight Class Cohesion) 和 LCC (Loose Class Cohesion) 是用于衡量模块内聚度的指标, 这两个指标主要关注于模块中方法之间的连通关系, 核心思想是通过分析模块中方法如何相互作用以及如何访问共同资源 (如全局变量) 来评估模块的内聚度。

(1) TCC, 含义是有连通关系的方法对数与总方法对数的比值 [14]。TCC 关注于模块中方法之间的“直接连接”。如果两个方法直接共享访问同一个变量, 则认为这两个方法是直接连接的。计算时, 对于每个文件首先构建方法耦合图, 对方法两两进行判断, 如果两个节点都引用相同的字段, 则它们之间用一条无向边连接, 计算公式如式 2-7, 其中 n 是文件中的方法总数, e 是图中的实际边数

$$TCC = \frac{e}{choose(n, 2)} \quad (2-7)$$

(2) LCC, 基于方法间接引用共同字段关系的传递闭包计算 [14]。LCC 除了考虑直接连接的方法对外, 还包括了间接连接的方法对。如果两个方法不是直接连接, 但可以通过一系列的方法调用来连接, 则认为它们是间接连接的。LCC 的值基于模块中直接或间接连接的方法对占所有可能方法对的比例来计算。因

此，LCC 的值通常不低于 TCC 的值，并且提供了一个更宽泛的模块内聚度视角。

计算时，对于每个模块首先构建方法耦合图，对方法两两进行判断，如果两个节点都引用相同的字段，则它们之间用一条无向边连接表示直接连接，如果方法之间有调用，则也将方法进行连接，并连接当前节点和调用节点的所有邻居节点。计算公式如式 2-8，

$$LCC = e + \frac{e_{indirect}}{choose(n, 2)} \quad (2-8)$$

其中 n 是文件中的方法总数， e 是图中的直接连接边， $e_{indirect}$ 是除直接连接边的边数。

2.5.3 方法间耦合性分析

耦合是在软件架构中用来描述模块间相互依赖和连接程度的一个重要指标。耦合度的高低直接影响到系统的维护性和可扩展性。在现有的研究和实践中，耦合度通常被细分为六个等级，这些等级从高到低反映了模块间依赖的紧密程度。本文关注的是方法与方法之间的耦合性，方法间的耦合性反映了不同方法之间的依赖关系，它直接影响代码的可读性、可测试性以及后续的维护和扩展。通过深入分析方法级别的耦合性，研究方法如何通过参数传递、调用关系、共享全局变量等方式相互依赖，我们可以更准确地识别潜在的设计缺陷和优化机会，从而提高系统的模块化程度，增强系统的可维护性和可扩展性。

表 2-1 软件架构中耦合性分类

耦合性类别	描述	耦合程度	本文是否分析
内容耦合	模块直接访问或修改另一个模块的内部数据	6	否
公共耦合	模块访问同一公共数据环境	6	是
外部耦合	模块共享全局简单数据结构	4	是
控制耦合	模块传递控制信息，影响计算流程	3	是
标记耦合	通过参数传递复杂数据结构信息	2	是
数据耦合	通过参数传递简单数据	1	是

内容耦合是耦合度最高的一种形式，它表示一个模块能够直接访问或修改另一个模块的内部数据和结构。在方法级的耦合分析中，这种耦合形式通常不被考虑，因为方法间的直接数据访问往往通过参数传递或者 API 调用实现，而不是直接的内容访问。

公共耦合发生在多个模块共同访问某个全局数据环境时。这种数据环境可

能是全局数据结构、全局变量或内存公共区域等。在提取到的全局变量表中,对于复杂数据结构如结构体和数组,其引用点所在的方法之间均存在公共耦合关系。

外部耦合与公共耦合相似,但区别在于它涉及的是对全局简单变量的访问。例如,当多个模块访问或修改相同的全局简单类型变量时,则这些模块之间存在外部耦合。

控制耦合指模块之间传递信息中包含用于控制模块内部的信息。在提取到的方法摘要表中,遍历方法,如果该方法调用其他方法时,对应方法的参数列表中有变量决定了被调用方法中的计算流程,则方法之间存在控制耦合关系。

标记耦合指通过参数表传递数据结构信息,调用时传递的是数据结构。在方法摘要表中提取了方法的参数列表,包括参数名和参数类型,根据参数类型,可以确定参数表中是否包含复杂类型。除此之外,在方法的调用表中,也提取了方法调用的函数,结合这两个信息,即可确定两个方法是否存在着标记耦合关系。

数据耦合指通过参数表传递简单数据。与标记耦合类似,根据参数类型可以确定参数是否全部为基本类型,结合方法调用表,即可确定两个方法是否存在数据耦合。

2.5.4 方法扇入扇出度量分析

方法的扇入(Fan-in)和扇出(Fan-out)是软件工程中用于衡量方法复杂性和模块间依赖关系的两个指标。

扇入是指调用某个方法的不同方法的数量。它表示了一个方法对其他方法的依赖程度。扇入值较高的方法通常被认为是重要的或核心的,因为它们被多个其他方法所依赖。高扇入值可能意味着该函数执行了一个基础或共享的任务。

扇出是指某个方法直接调用的不同方法的数量。它表示了一个方法对其他方法的影响程度。扇出值较高的方法可能更复杂,因为它们需要管理和协调更多的方法调用。高扇出值可能意味着该方法具有较高的责任度,且可能更难以理解和维护。

本文中对于提取到的方法摘要表,遍历每一个方法,统计其调用方法的数量即可计算出该方法的扇出值,再以该方法名在方法摘要表中搜索调用了该方法的方法,统计总数,得到的值即为扇入值。

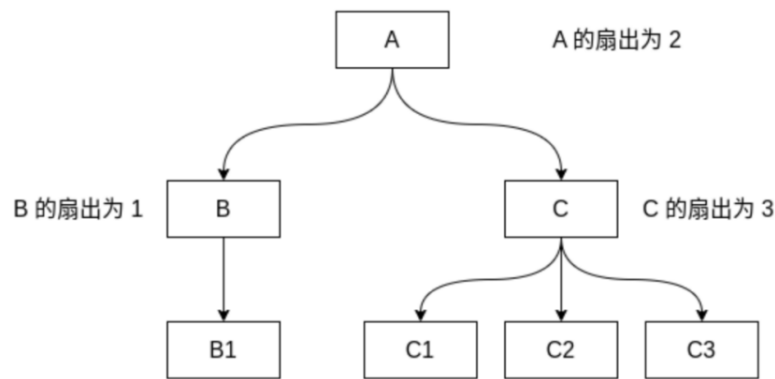


图 2-4 扇入扇出示例图

2.6 实验结果与分析

2.6.1 实验数据描述与分析

本文收集了表 2-2 中所示的软件项目为示例项目，这些项目在 **github** 上的收藏数均在千以上，说明这些项目在开源社区中有着一定的影响力，使用范围比较广泛。除此之外，这些项目有着比较活跃的社区，说明其还在不断更新迭代过程中，所以能提供较为丰富的变更历史，以供后续的实验分析。

表 2-2 示例项目

项目名称	项目简介	收藏数
antiword	用于提取 Microsoft Word 文档内容的工具	13k
librdkafka	Apache Kafka 的 C/C++ 客户端库，用于与 Kafka 集群进行通信	18k
TheAlgorithms	各种算法的开源实现的集合，涵盖了计算机科学、数学和统计学、数据科学、机器学习、工程等各种主题	57k
libbpf	linux 内核观测技术的一个脚手架库	1.9k
FFmpegKit	FFmpeg 工具包	3.7k
jemalloc	通用的 malloc(3) 实现，强调碎片避免和可扩展的并发支持	9k

对示例项目提取基于内聚度缺乏度和基于连通性的内聚度指标、耦合性以及扇入扇出，这些指标一定程度上反映了代码质量。内聚度在本文中是一个模块级别的指标，它衡量一个模块内部各个组件（本文中是方法和全局变量）之间关系的紧密程度的指标。内聚度高的模块意味着模块内的各个部分紧密合作以完成某一特定任务，模块的职责单一，功能聚焦。本文中计算了两类共六种内聚度指标，在同一项目中，人工检查每种内聚度在最差的前 5% 的模块，判断是否能被开发者接受，以此来验证内聚度指标的有效性。

对于耦合性，本文中提取了五种不同的耦合类别，每种类别的耦合程度并

不相同，数据耦合、标记耦合、外部耦合、公共耦合，耦合程度依次递增。这里对于耦合性的判别标准需要根据是否在同一个模块进行区分。对于同一模块内，代码往往有共同的上下文和职责范围，因此要求尽量采用数据耦合，因为通过参数传递数据，方法的输入输出明确，易于测试和维护；允许标记耦合和外部耦合，允许通过传递数据结构优化参数列表简洁性；减少公共耦合，模块内共享状态可提高效率，但要避免复杂的依赖关系。对于不同模块的方法，则要求尽量采用数据耦合，数据耦合方法之间的独立性强，模块职责单一，代码易于测试和复用；减少标记耦合，优化接口设计，避免通过标记变量传递复杂的变量；杜绝公共耦合、外部耦合：避免全局变量的滥用，防止影响模块之间的依赖关系和模块内部的可测试性。同样也是通过人工检验不符合要求的耦合性，判断是否能被开发者接受，以此来验证耦合性指标的有效性。

对于扇入扇出也是类似的，传统要求尽量高扇入低扇出，高扇入表示其他模块依赖该模块，模块的功能可能是系统中其他模块的核心或基础，复用性较好；低扇出表示该模块没有过多地依赖其他模块，因此它具有更高的独立性，更易维护。这里也是通过人工检查两种指标在最差的前 5% 的方法，判断是否能被开发者接受，以此来验证扇入扇出指标的有效性。

接受率指标计算公式如式 2-9

$$AR = \frac{A}{T} \times 100\% \quad (2-9)$$

其中 AR 表示接受率，A 表示开发者接受的不符要求的示例数，T 表示方法检测到的不符要求的样例数。

2.6.2 实验结果与分析

(1) 内聚度接受率实验结果及分析

对示例项目人工检验得到的接受率进行统计，得到的结果如表 2-3。

表 2-3 内聚度接受率

项目名称	LCOM1	LCOM2	LCOM3	LCOM4	TCC	LCC
antiword	91.3	84.2	84.2	91.3	84.2	84.2
librdkafka	73.7	73.7	73.7	73.7	78.4	78.4
TheAlgorithms	89.2	74.9	74.9	89.2	74.9	74.9
libbpf	87.3	83.4	87.3	87.3	93.7	93.7
FFmpegKit	71.3	69.2	74.9	76.6	89.3	84.9
jemalloc	82.2	82.2	82.2	82.2	88.6	88.6

对于内聚度的接受率，经过分析可以发现指标基本都在 70% 以上，表现良

好。通过对比,发现在 **antiword**、**TheAlgorithms** 等比较简单的项目中,内聚度在 6 项指标中常出现相同的接受率,经过分析发现这是因为在同一项目中,尽管 6 项指标的计算方式和侧重点都不同,但是最差的前 5% 基本上是重合的,这意味着一个模块如果在 **LCOM1** 中表现的很差,在其他指标中也通常表现得很差,这符合通常认知,同时也侧面验证了指标的准确性。但是对于 **FFmpegKit** 等较复杂的项目,6 项指标则不太相同,体现了不同内聚度计算方式的侧重点。

(2) 其他度量接受率实验结果及分析

对示例项目人工检验得到的接受率进行统计,得到的结果如表 2-4。

表 2-4 示例项目

项目名称	耦合性 AR	扇入扇出 AR	静态工具缺陷 AR
antiword	84.2	56.4	100.0
librdkafka	73.7	43.3	98.8
TheAlgorithms	99.2	87.6	100.0
libbpf	78.3	42.1	100.0
FFmpegKit	64.0	43.3	94.6
jemalloc	87.8	43.3	100.0

首先分析耦合性,耦合性的接受率在几个项目中的表现不尽相同。对于结构较为简单的项目,如 **antiword** 和 **jemalloc**,接受率均能达到较高的水平,在 **TheAlgorithms** 项目上甚至能达到 99% 以上的接受率,这是因为简单项目结构较为简单,各个模块功能明确,职责单一,所以耦合性不达标的情况很容易被检测和接受,维护起来也更加容易,尤其对于 **TheAlgorithms**,这个项目是对各种算法的开源实现,模块和模块之间几乎不存在相互依赖和调用的情况,每种算法独立开发,更像是库函数,仅在需要时供开发者调用,所以耦合性过高的样例很少,而且也更容易被接受。而在复杂项目中,如 **FFmpegKit**,耦合性接受率相较其他项目更低一些,这是由于对与大型、复杂的软件项目来讲,各模块和方法之间的依赖关系可能已经非常复杂,需要大量时间来理解现有结构并分析方法间的相互影响,对于某些功能,也的确缺乏耦合性更低的实现方式,所以接受率更低。

对于扇入扇出值,可以发现在这个指标上的接受率是最低的。经过实例分析,发现大部分的项目的开发模式并不完全符合高扇入低扇出的标准。比如低扇入的模块虽然复用性低,但是更加独立,意味着它们不太依赖于其他模块的实现,因此更容易被单独测试、维护和扩展,考虑到未来软件的发展,这些低扇入的方法也可能被调用,所以不能被直接接受。对于高扇出方法的检测结果,

大部分是可以接受的，但是存在某些高扇出的模块实际上是中心化的模块，类似 `main` 方法，集中处理功能逻辑能够减少冗余代码，还能减少因为方法调用导致的内存栈增加。

静态工具检验得到的代码缺陷的接受率是最高的，经过分析发现只有个别错误如头文件引用错误、变量未使用等错误等不容易被开发者所接受，因为这并不是代码本身的结构问题。

(3)

2.7 本章小结

第3章 变更影响分析方法

3.1 引言

方法之间的变更影响的类型可以分为以下三种类型：

(1) 有直接调用关系这种变更影响关系是显而易见的。比如方法 `funcA` 调用了方法 `funcB`，那么当 `funcB` 的方法签名有所变化时，调用它的方法必须对应地修改代码才能正常调用，否则会调用不成功，甚至直接发生编译错误。

(2) 共同调用另一个方法如当 `funcA` 和 `funcC` 同时调用了方法 `funcB` 时，`funcA` 和 `funcC` 之间会有变更影响关系。这种变更影响关系实际上是类型 1 的扩展，这种情况通常是 `funcB` 的更改引起了 `funcA` 和 `funcC` 的同时更改。

(3) 逻辑上存在变更影响关系这种变更影响关系中，方法之间虽然没有直接的调用关系，也不共同调用某个方法，但它们的实现逻辑或者所操作的数据之间存在某种隐含的关联。这种关系可能是由于它们共同维护某个数据的一致性、共享某些资源或者它们的输出和输入之间存在某种预期的联系。因此，当其中一个方法发生变化时，可能会间接影响到其他方法的行为或结果，即使这种影响在代码的静态结构中不直接可见。

3.2 基于依赖关系闭包的变更影响分析

在代码变更影响关系分析中，依赖关系传递闭包分析是一种用来预测代码变更可能影响到的其他部分的技术 [15]。这种方法依赖于对代码中各个元素之间依赖关系的深入分析，通过这些依赖关系的传递来识别受影响的代码方法。这种变更影响关系是后续进行模块化分析的基础。

首先识别直接依赖关系。包括函数调用、变量引用等。此前提取到的方法摘要表和全局变量信息表已经包含了这种直接依赖关系。接下来将依赖关系表示为一个有向图，其中节点代表代码中的元素，包括方法、全局变量，有向边代表依赖关系。这个依赖图是分析代码变更影响的基础。对于依赖图中的每个节点，计算其传递闭包。传递闭包是指从该节点出发，通过依赖关系可以直接或间接到达的所有节点的集合。这一步骤通过图深度优先搜索来实现。

对于图中的所有方法节点进行变更影响分析，我们假设该节点有变更，计算传递闭包后，得到的方法集合即为与当前方法有变更影响关系的方法。

以图 2-5 为例，在这个例子中，一共有 4 个方法，其中方法 funcA 调用了 funcB 和 funcD，funcB 调用了 funcC。在对 funcC 进行变更影响分析时，会直接影响到 funcB，根据依赖关系闭包，会间接影响到 funcA。所以与 funcC 有变更影响关系的方法集合为 funcB, funcA。

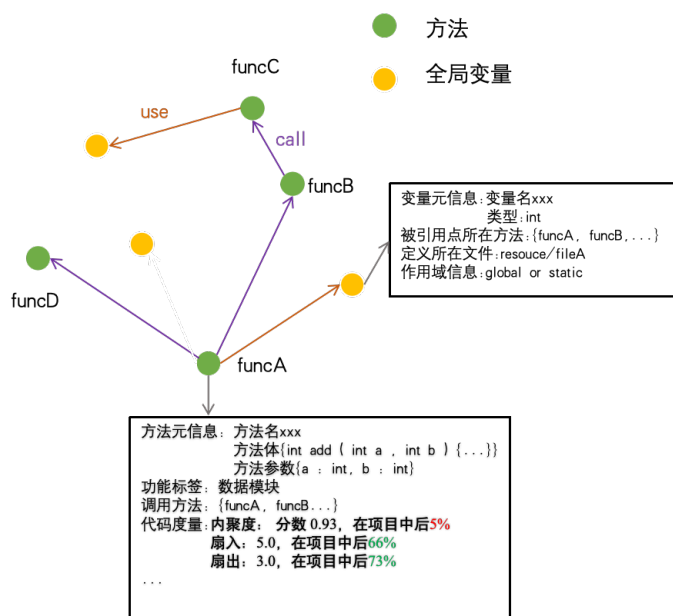


图 3-1 依赖关系示例

3.3 基于代码克隆的变更影响分析

3.3.1 代码分段及代码指纹提取

3.3.2 基于 ClaSP 算法的代码克隆检测方法

3.4 基于数据挖掘的变更影响分析

3.4.1 代码变更历史提取

基于依赖关系闭包的方法可以识别方法之间浅层的变更影响关系，主要针对的是语法和依赖关系层面，而无法抽取更深层的关系，因此设计了基于数据挖掘技术的变更影响分析方法。本方法主要针对拥有代码变更历史记录的软件项目。其主要理论是认为在代码变更历史中，频繁出现同时更改的方法对是存在着一定的变更影响关系的。这一过程可以分为以下几个步骤：

这里为方便分析代码变更历史，主要分析对象为 git 项目。首先是收集项目的代码库及其变更历史记录。然后，提取项目中的所有提交 (commit)，每个提交可能包含多个更改文件。对于标记为“修改”的文件，提取所有变化的代码

行，并定位这些代码行在源代码中的方法，进而提取该方法体。收集每个提交中所有变更的函数，形成一个与该提交相关的变更函数列表。

3.4.2 基于频繁模式挖掘的变更影响关系提取

接下来，基于数据挖掘中的频繁模式挖掘理论，识别可能存在变更影响关系的函数对。频繁模式指的是在数据集中经常一起出现的项目或特征组合，而频繁项集是频繁模式的具体表现形式。频繁项集是指在数据集中经常同时出现的一组项，如果一个项集的支持度（即该项集出现的记录占总记录数的比例）超过了预先定义的最小支持度阈值，则认为该项集是频繁的。在分析提交时，针对一个方法 A，记录其在所有提交记录中出现的次数为 N，而在这些提交中，统计其他出现的方法次数 M，如对方法 B，记录其出现的次数为 M。如果 M/N 的值为设定的阈值 = 1，则认为方法对 (A, B) 有变更影响关系。换言之，这意味着每当 A 出现时，B 也必然出现，方法对 (A, B) 每次更改都为同时更改。

遍历项目变更历史，抽取出有变更影响关系的方法对，认为它们之间存在着变更影响关系

对收集到的数据进行分析，这里以真实项目中挖掘到的方法对为例，如图 2-6 中所示，这个项目是 kafka 的一个 C/C++ 客户端。方法一的主要功能是在 Kafka 模拟环境中按照一定的规则生成 Producer ID，而方法二的功能是检查一个 Producer ID 是否有效。当涉及检查的逻辑时，往往需要考虑到它是如何被创建和分配的。在这个例子中需要确保 ID 的创建逻辑与检查逻辑一致，才能确保检查是正确的。这个方法中，对于要检查的 Producer ID，首先会判断事务 ID，然后再检查 epoch，逻辑与创建 ID 是形成对应的。考虑修改的行为，如果对于 Producer ID 的创建和分配逻辑进行了修改，那么通常需要同时修改 Producer ID 检查逻辑，以确保两者保持一致。否则，如果创建和分配逻辑发生了变化，而检查逻辑没有相应地进行调整，就可能导致检查逻辑无法正确地验证新生成的 Producer ID，从而引入错误和不一致性。

经过分析可以看出，通过数据挖掘方法得到的具有变更关系的方法对，是具有一定的准确性的，并且可以弥补静态分析的不足。

3.5 基于深度学习的变更影响分析

当项目代码有丰富的变更历史时，可以根据数据挖掘的方式，抽取具有变更影响关系的方法对，但是当只有项目源代码时，则只能根据静态分析的方式分析。本课题将数据挖掘得到的数据作为数据集，训练深度学习模型，将模型

```

rd_kafka_pid_t rd_kafka_mock_pid_new(rd_kafka_mock_cluster_t *mcluster,
                                     const rd_kafkap_str_t *TransactionalId) {
    //计算长度, 分配内存
    size_t tidlen = TransactionalId ? RD_KAFKAP_STR_LEN(TransactionalId) : 0;
    rd_kafka_mock_pid_t *mpid = rd_malloc(sizeof(*mpid) + tidlen);
    rd_kafka_pid_t ret;
    //生成一个随机的 Producer ID、设定epoch
    mpid->pid.id = rd_jitter(1, 900000) * 1000;
    mpid->pid.epoch = 0;
    //将事务ID拷贝到pid里
    if (tidlen > 0) memcpy(mpid->TransactionalId, TransactionalId->str, tidlen);
    mpid->TransactionalId[tidlen] = '\0';
    //新产生的 Producer ID 添加到模拟集群中的 pid 列表
    rd_list_add(&mcluster->pids, mpid);
    ret = mpid->pid;
    //返回
    return ret;
}

rd_kafka_resp_err_t rd_kafka_mock_pid_check(rd_kafka_mock_cluster_t *mcluster,
                                             const rd_kafkap_str_t *TransactionalId,
                                             const rd_kafka_pid_t check_pid) {
    rd_kafka_mock_pid_t *mpid;
    rd_kafka_resp_err_t err = RD_KAFKA_RESP_ERR_NO_ERROR;
    //检查TID、epoch
    err = rd_kafka_mock_pid_find(mcluster, TransactionalId, check_pid, &mpid);
    if (!err && check_pid.epoch != mpid->pid.epoch) err = RD_KAFKA_RESP_ERR_INVALID_PRODUCER_EPOCH;
    //检查失败
    if (unlikely(err)) rd_kafka_dbg(mcluster->rk, MOCK, ...);
    return err;
}

```

图 3-2 逻辑上有变更影响关系的方法对示例

用于对方法对的变更影响关系预测，以弥补静态分析方法的不足。

3.5.1 数据集的采集与预处理

根据数据挖掘的变更影响关系分析的方法，可以提取到具有频繁同时更改的方法对，将这种方法对作为数据集的正例进行收集，然后对方法进行随机取样，作为数据集的负例收集。

这里我们主要以表 2-1 中的 github 项目为基础收集数据集。选择这几个项目的原因是它们的收藏数均在千以上，说明这些项目在开源社区中有着一定的影响力，使用比较广泛。除此之外，这些项目社区比较活跃，还在不断更新迭代过程中，所以能提供较为丰富的变更历史，以供我们分析。

3.5.2 基于 codebert 的变更影响关系预测

在进行学习模型的训练时，考虑到对代码的理解性，采用 CodeBERT 作为核心的代码表示学习模型。首先，将两个方法体分别输入到模型中，通过模型的处理，得到两个函数体各自的嵌入表示，分别记为 s1 和 s2。接着将这两个向量表示进行拼接，形成合并后的向量表示。此合并向量随后被送入一个由两层组成的多层感知机（MLP）中进行进一步的处理。在这个过程中，模型通过学习，尝试捕捉函数体之间的深层次关系。最终，将模型的输出与真实标签之间做交叉熵损失来进行优化，以此来调整模型的参数，使模型能够更准确地理解和表示代码之间的关系。

实验结果如表 2-2 所示。实验使用的数据集总共 6000 对左右，按照训练、验证、测试集为 6:2:2，分别训练了 codebert 系列的两个网络 CodeBERTa-small-v1

和 `codebert-base-mlm`，具体结果如下：

从总体上来看，两个模型的性能均表现出色，但深入分析召回率（`recall`）和精确率（`precision`）时，可以发现两个模型各有所长。

`CodeBERTa-small-v1` 模型更加重视精确率，强调预测出的正例的真实性和准确性。这意味着它在确保预测结果的准确性方面做得很好，但这种方法可能会导致一些正确的情况被漏掉，即存在漏报的情况。由于“`small`”模型的规模较小，参数数量较少，这可能会使得模型在训练过程中更容易发生过拟合现象。

另一方面，`CodeBERT-base-mlm` 模型更加注重召回率，致力于捕捉尽可能多的正样本。这种策略虽然能够覆盖更多的正例，但在这个过程中，也可能会引入一些误报，即将一些实际上是负例的情况错误地判定为正例。大型模型由于具备更强的泛化能力，通常能够更好地适应新的数据集。因此，为了获得更好的泛化性能，它们通常会牺牲一定的精确率。

3.6 实验结果与分析

3.6.1 实验数据集描述与分析

3.6.2 实验设置

3.6.3 实验结果与分析

3.7 本章小结

第 4 章 代码审查图生成

4.1 引言

对整个项目的分析结果将以代码审查图的方式展示给用户。其中图的节点是代码元素，包括方法和全局变量，方法和方法以及方法和全局变量之间的关系将以边的形式进行展示。

4.2 基于方法功能标签的方法聚类

4.2.1 基于大语言模型的方法功能标签生成

4.2.2 基于功能标签的方法聚类

4.3 代码审查图

4.3.1 代码审查图构建

4.3.2 代码审查图可视化

图形可视化方案基于开源项目 **G6**，构建并展示最终的代码审查图。**G6** 是一个图形可视化引擎，它提供了绘制、布局、分析、交互、动画等全方位的图形可视化基础功能。在图形的节点与边被计算出后，将这些数据以 **JSON** 格式组织起来，这样可以让 **G6** 加载这些远程数据源进行展示，同时也实现了计算逻辑与图形可视化的有效分离。

如图 2-8 所示，目前实现了节点的分类、设置节点属性，以及边的分类、设置边信息等关键功能。为了提升交互体验，还增加了鼠标悬停时即可查看节点或边信息的便捷功能。

4.4 实验结果与分析

4.4.1 实验数据集描述与分析

4.4.2 实验设置

4.4.3 实验结果与分析

4.5 本章小结

结 论

学位论文的结论作为论文正文的最后一章单独排写，但不加章标题序号。

结论应是作者在学位论文研究过程中所取得的创新性成果的概要总结，不能与摘要混为一谈。博士学位论文结论应包括论文的主要结果、创新点、展望三部分，在结论中应概括论文的核心观点，明确、客观地指出本研究内容的创新性成果（含新见解、新观点、方法创新、技术创新、理论创新），并指出今后进一步在本研究方向进行研究工作的展望与设想。对所取得的创新性成果应注意从定性和定量两方面给出科学、准确的评价，分（1）、（2）、（3）…条列出，宜用“提出了”、“建立了”等词叙述。

参考文献

- [1] SHENEAMER, ABDULLAH, ROY, et al. A detection framework for semantic code clones and obfuscated code[J]. Expert Systems with Application, 2018.
- [2] LI H, KWON H, KWON J, et al. A scalable approach for vulnerability discovery based on security patches[C]//International Conference on Applications Techniques in Information Security. 2014.
- [3] SHAHRIAR H, ZULKERNINE M. Mitigating program security vulnerabilities: Approaches and challenges[J]. ACM Computing Surveys, 2012, 44(3): 1-46.
- [4] BASET A Z, DENNING T. Ide plugins for detecting input-validation vulnerabilities [J]. IEEE, 2017.
- [5] BALOGLU B. How to find and fix software vulnerabilities with coverity static analysis[C]//Cybersecurity Development. 2016.
- [6] SPANOS G, ANGELIS L, TOLOUDIS D. Assessment of vulnerability severity using text mining[J]. ACM, 2017: 1-6.
- [7] SPANOS G, ANGELIS L. A multi-target approach to estimate software vulnerability characteristics and severity scores[J]. Journal of Systems and Software, 2018, 146(DEC.): 152-166.
- [8] KUDJO P K, CHEN J, MENSAH S, et al. The effect of bellwether analysis on software vulnerability severity prediction models[J]. Software Quality Journal, 2020, 28(1): 1-34.
- [9] NUÑEZ-VARELA A S, PÉREZ-GONZALEZ H G, MARTÍNEZ-PÉREZ F E, et al. Source code metrics: A systematic mapping study[J/OL]. Journal of Systems and Software, 2017, 128: 164-197. <https://www.sciencedirect.com/science/article/pii/S0164121217300663>. DOI: <https://doi.org/10.1016/j.jss.2017.03.044>.
- [10] QU Y, GUAN X, ZHENG Q, et al. Exploring community structure of software call graph and its applications in class cohesion measurement[J]. Journal of Systems Software, 2015, 108(oct.): 193-210.
- [11] NAKAMURA M, HAMAGAMI T. A software quality evaluation method using the change of source code metrics[J]. IEEE, 2012.
- [12] MISRA S, AKMAN I, COLOMO-PALACIOS R. Framework for evaluation and validation of software complexity measures[J]. Iet Software, 2012, 6(4): 323-334.

- [13] MISRA S, KOYUNCU M, CRASSO M, et al. A suite of cognitive complexity metrics[C]//International Conference on Computational Science Its Applications. 2012.
- [14] CONCAS G, MARCHESI M, MURGIA A, et al. Assessing traditional and new metrics for object-oriented systems[J]. ACM, 2010.
- [15] 陈振强, 徐宝文. 一种基于依赖性分析的类内聚度度量方法[J]. 软件学报, 2003, 14(11): 8.
- [16] QU Y, GUAN X, ZHENG Q, et al. Exploring community structure of software call graph and its applications in class cohesion measurement[J/OL]. Journal of Systems and Software, 2015, 108: 193-210. <https://www.sciencedirect.com/science/article/pii/S0164121215001259>. DOI: <https://doi.org/10.1016/j.jss.2015.06.015>.
- [17] 马健, 刘峰, 樊建平. 面向对象软件耦合度量方法[J]. 北京邮电大学学报, 2018, 41(1): 6.
- [18] ARDITO L, COPPOLA R, BARBATO L, et al. A tool-based perspective on software code maintainability metrics: A systematic literature review[J]. Scientific Programming, 2020(8840389).
- [19] LI W, HENRY S. Object-oriented metrics that predict maintainability[J]. Journal of Systems Software, 1993, 23(2): 111-122.

哈尔滨工业大学学位论文原创性声明和使用权限

学位论文原创性声明

本人郑重声明：此处所提交的学位论文《面向代码质量评估的变更影响分析方法研究》，是本人在导师指导下，在哈尔滨工业大学攻读学位期间独立进行研究工作所取得的成果，且学位论文中除已标注引用文献的部分外不包含他人完成或已发表的研究成果。对本学位论文的研究工作做出重要贡献的个人和集体，均已在文中以明确方式注明。

作者签名： 日期： 年 月 日

学位论文使用权限

学位论文是研究生在哈尔滨工业大学攻读学位期间完成的成果，知识产权归属哈尔滨工业大学。学位论文的使用权限如下：

(1) 学校可以采用影印、缩印或其他复制手段保存研究生上交的学位论文，并向国家图书馆报送学位论文；(2) 学校可以将学位论文部分或全部内容编入有关数据库进行检索和提供相应阅览服务；(3) 研究生毕业后发表与此学位论文研究成果相关的学术论文和其他成果时，应征得导师同意，且第一署名单位为哈尔滨工业大学。

保密论文在保密期内遵守有关保密规定，解密后适用于此使用权限规定。
本人知悉学位论文的使用权限，并将遵守有关规定。

作者签名： 日期： 年 月 日

导师签名： 日期： 年 月 日

致 谢

衷心感谢导师 XXX 教授对本人的精心指导。他的言传身教将使我终生受益。

.....

感谢哈工大 L^AT_EX 论文模板 hiThesis !